



**MONITORING GEODYNAMICZNY POLSKI
PAŃSTWOWA SŁUŻBA GEOLOGICZNA**

**PAŃSTWOWY INSTYTUT GEOLOGICZNY
PAŃSTWOWY INSTYTUT BADAWCZY**

RAPORT MIESIĘCZNY nr 04/2026

ZA OKRES OD 01/04/2026 DO 30/04/2026 ROK

(KWIECIEŃ 2026)

Zawartość raportu:

Karta informacyjna – Aktywność sejsmiczna w kwietniu 2026 i okresie ostatnich 12 miesięcy: Polska, Europa, świat.

1. Monitoring aktywności sejsmicznej na obszarze Polski i w strefach przygranicznych
2. Aktywność sejsmiczna na kontynencie europejskim i w skali globalnej (wg danych EMSC)
3. Monitoring zmian pionowej składowej przyspieszenia siły ciężkości
4. Dodatek – poradnik
5. Lista załączników

realizacja projektu Monitoring Geodynamiczny Polski – etap V (MGP-V)

**WYKONANO NA ZAMÓWIENIE MINISTRA KLIMATU I ŚRODOWISKA
ZA ŚRODKI FINANSOWE WYPŁACONE
PRZEZ NARODOWY FUNDUSZ OCHRONY ŚRODOWISKA I GOSPODARKI WODNEJ**



**Ministerstwo
Klimatu i Środowiska**



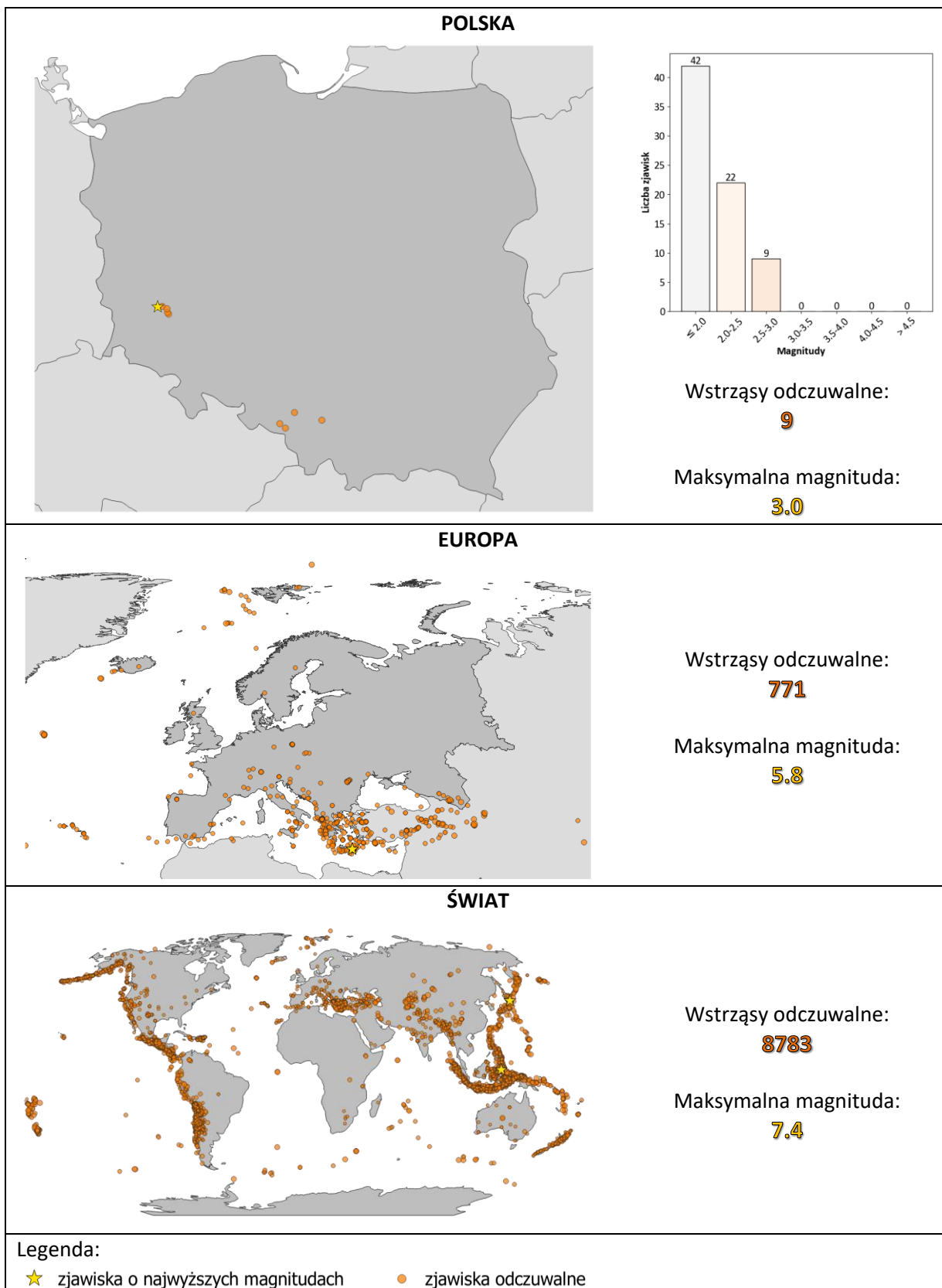
**NARODOWY FUNDUSZ
OCHRONY ŚRODOWISKA
i GOSPODARKI WODNEJ**

Warszawa 04/05/2026 r.

KARTA INFORMACYJNA RAPORTU

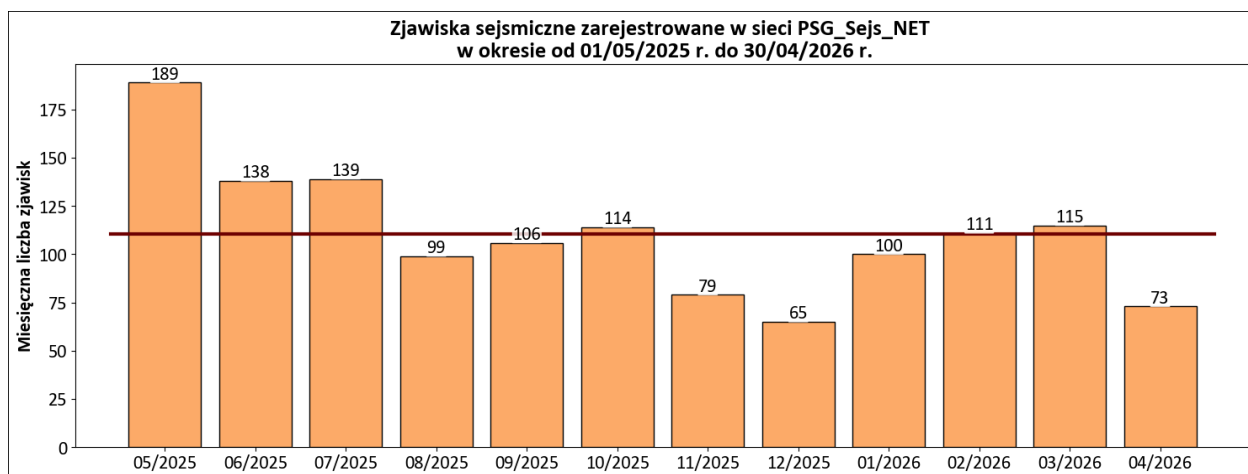
Aktywność sejsmiczna w sieci PSG Sejs NET oraz bazie danych EMSC

kwiecień 2026: Polska, Europa, świat

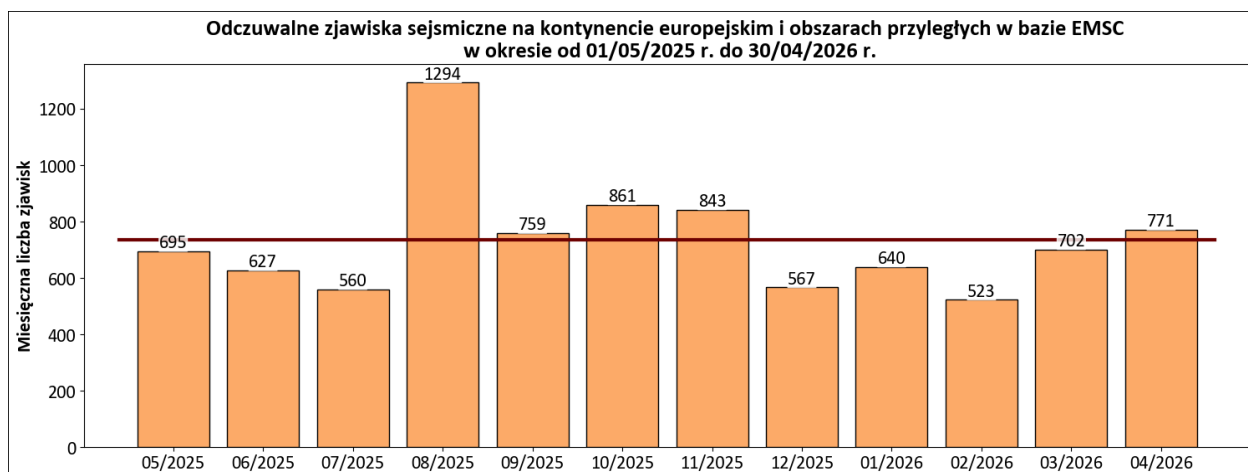


Wyniki monitoringu aktywności sejsmicznej mierzonej miesięczną liczebnością zidentyfikowanych zjawisk sejsmicznych w sieci PSG_Sejs_NET oraz bazie danych EMSC w okresie ostatnich 12 miesięcy (maj 2025 – kwiecień 2026 r.).

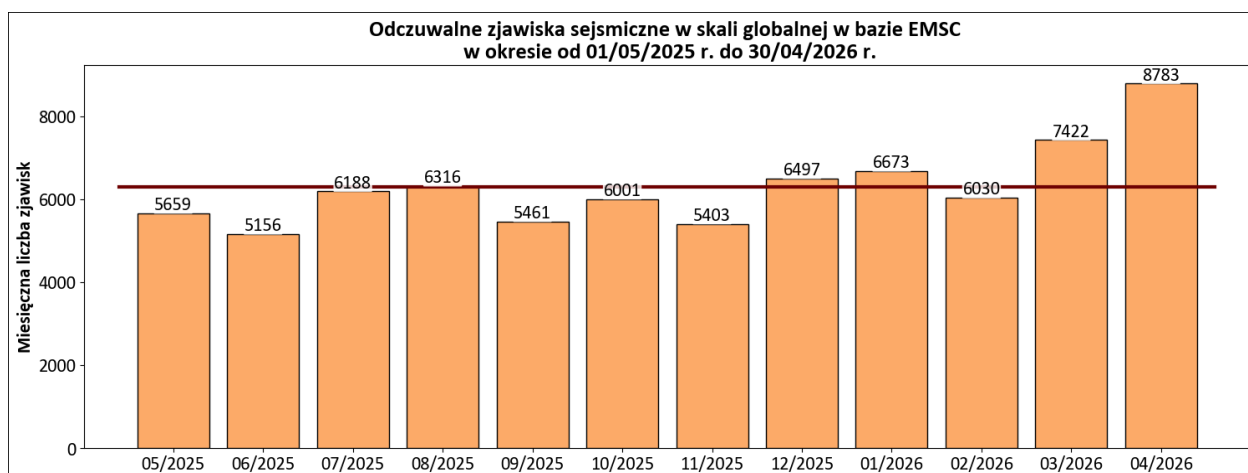
POLSKA



EUROPA



ŚWIAT



Legenda:

— średnia miesięczna liczebność w okresie ostatnich 12 miesięcy

1. MONITORING AKTYWNOŚCI SEJSMICZNEJ NA OBSZARZE POLSKI I STREFIE PRZYGRANICZNEJ.

1.1. Sieć monitoringu aktywności sejsmicznej państwowej służby geologicznej – PSG_Sejs_NET.

Sieć monitoringu aktywności sejsmicznej państwowej służby geologicznej jest stale rozwijana i optymalizowana. W kwietniu 2026 r. w sieci PSG_Sejs_NET funkcjonowało 33 stacji sejsmicznych. Wśród nich jest 31 stacji mobilnych, wykorzystujących sejsmometry krótkookresowe i 2 stacje szerokopasmowe zainstalowane w stałych, terenowych laboratoriach geodynamicznych PSG w miejscowościach Dziwie, gm. Przedecz w powiecie kolskim oraz w Hołowni, gm. Podedwórze w powiecie parczewskim.

Do wykrywania i lokalizowania zjawisk sejsmicznych na terenie kraju, do sieci PSG_Sejs_NET zostało włączonych również 12 stacji mobilnych lokalnej Sudeckiej Sieci Sejsmologicznej (S9) utworzonej w ramach poprzedniego etapu projektu – MGP-IV. Ponadto do opracowań wykorzystywane są dane o otwartym dostępie z Polskiej Sieci Sejsmologicznej PLSN¹², z sieci MORAVIA NETWORK (MONET)³, wybranych stacji: Czeskiej Regionalnej Sieci Sejsmologicznej CRSN⁴, Niemieckiej Regionalnej Sieci Sejsmologicznej GRSN⁵, GEOFON⁶, Słowackiej Narodowej Sieci Sejsmologicznej⁷.

Docelowo monitoring sejsmiczny oparty będzie na 50 punktach obserwacyjnych PSG, przy zachowaniu takiej topologii sieci, która zagwarantuje zdolność detekcji naturalnych zjawisk sejsmicznych oraz zjawisk pochodzenia antropogenicznego na terytorium całego kraju, ze szczególnym uwzględnieniem obszarów podwyższonego ryzyka sejsmicznego.

Mapa lokalizacji stanowisk monitoringu sejsmicznego sieci PSG_Sejs_NET wraz z lokalizacjami stacji innych sieci, z których dane wykorzystywane są do wykonywanych opracowań przedstawiona została na **Rys 1**.

¹Rudziński, Łukasz & Lasocki, Stanisław & Orlecka-Sikora, Beata & Wiszniowski, Jan & Olszewska, Dorota & Kokowski, Jakub & Mirek, Janusz. (2021). Integrating Data under the European Plate Observing System from the Regional and Selected Local Seismic Networks in Poland. *Seismological Research Letters*. 92. 1717-1725. 10.1785/0220200354

²Institute of Geophysics, Polish Academy of Sciences. (1990). Polish Seismological Network [Data set]. International Federation of Digital Seismograph Networks. 10.7914/90rh-0q80

³Institute Of Physics Of The Earth Masaryk University Brno (IPE). (2017). MORAVIA NETWORK (MONET) [Data set]. GFZ Data Services. <https://doi.org/10.14470/Z6115722>

⁴Charles University in Prague (Czech), Institute of Geonics, Institute of Geophysics, Academy of Sciences of the Czech Republic, Institute of Physics of the Earth Masaryk University (Czech), & Institute of Rock Structure and Mechanics. (1973). Czech Regional Seismic Network [Data set]. International Federation of Digital Seismograph Networks. <https://doi.org/10.7914/SN/CZ>

⁵Federal Institute for Geosciences and Natural Resources. (1976). German Regional Seismic Network (GRSN). Bundesanstalt für Geowissenschaften und Rohstoffe. <https://doi.org/10.25928/mbx6-hr74>

⁶GEOFON Data Centre. (1993). *GEOFON Seismic Network* [Data set]. GFZ Data Services. <https://doi.org/10.14470/TR560404>

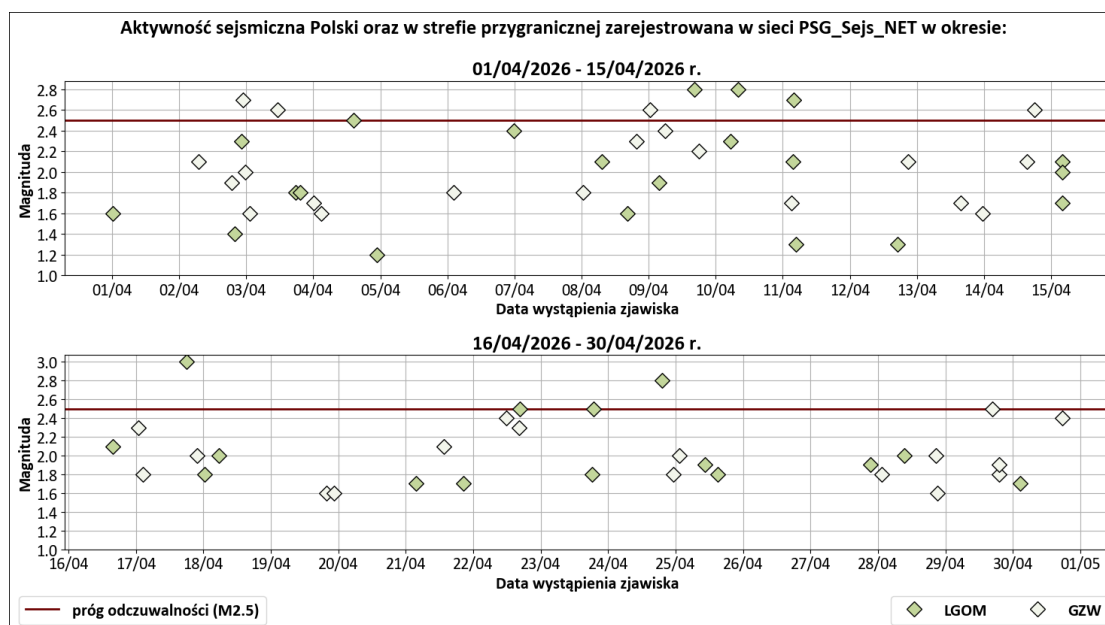
⁷ESI SAS; Former GPI SAS (Geophysical Institute Of The Slovak Academy Of Sciences). (2004). National Network of Seismic Stations of Slovakia [Data set]. GFZ Data Services. <https://doi.org/10.14470/FX099882>

Tab. 1. Lista zjawisk sejsmicznych zarejestrowanych w sieci PSG_Sejs_NET na terenie Polski oraz w strefie przygranicznej w okresie od 01/04/2026 do 30/04/2026 r.

Lp.	Data & Czas (UTC)	Szer. geogr. [°]	Dług. geogr. [°]	Głęb. ogniska [km]	Mag.	Region
1	2026-04-01 00:07:42	51.40	16.23	3.7	1.6	LGOM
2	2026-04-02 07:05:08	50.26	18.72	1	2.1	GZW
3	2026-04-02 18:52:36	50.03	18.52	1	1.9	GZW
4	2026-04-02 19:47:39	51.55	16.11	1	1.4	LGOM
5	2026-04-02 22:25:41	51.51	16.12	3.2	2.3	LGOM
6	2026-04-02 22:52:07	50.20	18.77	1	2.7	GZW
7	2026-04-02 23:40:22	50.05	18.45	3.4	2.0	GZW
8	2026-04-03 01:21:34	50.18	18.98	1	1.6	GZW
9	2026-04-03 11:06:17	50.00	18.58	1	2.6	GZW
10	2026-04-03 17:35:30	51.55	16.10	1	1.8	LGOM
11	2026-04-03 19:22:08	51.56	16.11	2.4	1.8	LGOM
12	2026-04-04 00:05:34	50.19	18.98	1	1.7	GZW
13	2026-04-04 02:56:54	50.25	18.84	1	1.6	GZW
14	2026-04-04 14:19:39	51.53	16.13	2.8	2.5	LGOM
15	2026-04-04 22:39:04	51.42	16.26	1.9	1.2	LGOM
16	2026-04-06 02:08:11	50.09	19.29	1	1.8	GZW
17	2026-04-06 23:44:56	51.43	16.19	1	2.4	LGOM
18	2026-04-08 00:27:19	50.19	19.00	1	1.8	GZW
19	2026-04-08 07:12:06	51.56	16.01	1	2.1	LGOM
20	2026-04-08 16:30:49	51.58	16.07	1	1.6	LGOM
21	2026-04-08 19:40:44	50.10	19.31	4.2	2.3	GZW
22	2026-04-09 00:23:46	50.06	18.47	1	2.6	GZW
23	2026-04-09 03:44:21	51.44	16.10	0.5	1.9	LGOM
24	2026-04-09 05:49:06	50.19	18.99	0.3	2.4	GZW
25	2026-04-09 16:16:43	51.54	16.01	1	2.8	LGOM
26	2026-04-09 18:06:04	50.24	18.74	1	2.2	GZW
27	2026-04-10 05:20:14	51.55	16.02	1	2.3	LGOM
28	2026-04-10 08:00:34	51.45	16.15	1	2.8	LGOM
29	2026-04-11 03:12:48	50.23	18.84	1	1.7	GZW
30	2026-04-11 03:41:00	51.53	16.03	1	2.1	LGOM
31	2026-04-11 03:54:17	51.47	16.12	1	2.7	LGOM
32	2026-04-11 04:39:46	51.43	16.19	1.7	1.3	LGOM
33	2026-04-12 16:58:06	51.56	16.09	1	1.3	LGOM
34	2026-04-12 20:55:33	50.19	19.04	1	2.1	GZW
35	2026-04-13 15:42:09	50.10	19.30	2.5	1.7	GZW
36	2026-04-13 23:26:25	50.22	18.86	1	1.6	GZW
37	2026-04-14 15:22:32	50.23	18.84	0.5	2.1	GZW
38	2026-04-14 18:04:28	50.10	19.32	1	2.6	GZW
39	2026-04-15 03:54:57	51.54	16.05	1	1.7	LGOM
40	2026-04-15 03:57:16	51.57	16.06	1	2.1	LGOM
41	2026-04-15 04:00:53	51.58	16.01	1	2.0	LGOM
42	2026-04-16 15:41:35	51.44	16.20	1	2.1	LGOM
43	2026-04-17 00:47:15	50.24	18.75	1	2.3	GZW
44	2026-04-17 02:26:51	50.23	18.84	1	1.8	GZW
45	2026-04-17 18:06:41	51.53	15.91	1	3.0	LGOM
46	2026-04-17 21:52:23	50.20	18.99	0.7	2.0	GZW
47	2026-04-18 00:25:32	51.54	16.09	1	1.8	LGOM
48	2026-04-18 05:34:03	51.45	16.14	1	2.0	LGOM
49	2026-04-19 19:48:35	50.22	18.85	1	1.6	GZW
50	2026-04-19 22:30:00	50.25	18.85	1	1.6	GZW
51	2026-04-21 03:35:51	51.54	16.12	1	1.7	LGOM
52	2026-04-21 13:40:12	49.98	18.57	2.8	2.1	GZW
53	2026-04-21 20:29:33	51.53	16.00	1	1.7	LGOM
54	2026-04-22 11:44:43	50.23	19.00	1	2.4	GZW
55	2026-04-22 16:19:41	50.11	19.30	1	2.3	GZW

56	2026-04-22 16:35:29	51.55	16.01	0.4	2.5	LGOM
57	2026-04-23 18:14:01	51.56	16.03	1	1.8	LGOM
58	2026-04-23 18:49:44	51.55	16.02	1.1	2.5	LGOM
59	2026-04-24 19:06:29	51.52	16.11	1	2.8	LGOM
60	2026-04-24 23:14:58	50.10	19.28	1	1.8	GZW
61	2026-04-25 01:26:31	50.05	18.48	1.7	2.0	GZW
62	2026-04-25 10:25:50	51.52	16.16	1	1.9	LGOM
63	2026-04-25 14:56:53	51.48	16.08	1	1.8	LGOM
64	2026-04-27 21:22:51	51.52	16.02	1	1.9	LGOM
65	2026-04-28 01:14:09	50.19	18.70	1	1.8	GZW
66	2026-04-28 09:26:13	51.52	16.12	1	2.0	LGOM
67	2026-04-28 20:29:40	50.11	19.30	3.1	2.0	GZW
68	2026-04-28 21:01:47	50.11	19.28	3.9	1.6	GZW
69	2026-04-29 16:46:35	50.10	19.31	1	2.5	GZW
70	2026-04-29 18:58:43	50.26	18.73	2.4	1.8	GZW
71	2026-04-29 19:00:33	50.09	19.23	1	1.9	GZW
72	2026-04-30 02:42:49	51.42	16.17	1.6	1.7	LGOM
73	2026-04-30 17:32:46	50.08	19.25	1	2.4	GZW

Sekwencję czasową zjawisk sejsmicznych zarejestrowanych w kwietniu 2026 r. w sieci PSG_Sejs_NET pokazano na **Rys. 2**, a ich statystykę w **Tab. 2**.



Rys. 2. Sekwencja czasowa zjawisk sejsmicznych zarejestrowanych w kwietniu 2026 r. w sieci PSG_Sejs_NET na terenie Polski oraz w strefie przygranicznej w podziale na regiony, w których zjawiska wystąpiły.

Tab. 2. Statystyka zjawisk sejsmicznych zarejestrowanych na obszarze Polski oraz w strefie przygranicznej w kwietniu 2026 r. w sieci PSG_Sejs_NET.

Magnituda		Liczba zdarzeń	%
>	≤		
0.0	2.0	42	57.5
2.0	2.5	22	30.1
2.5	3.0	9	12.3
3.0	3.5	0	0.0
3.5	4.0	0	0.0
4.0	4.5	0	0.0
M>4.5		0	0.0
Razem:		73	100.0
w tym:	M≤2.5	64	87.7
	M>2.5	9	12.3
	M _{min.}	1.2	
	M _{śr.}	2.0	
	M _{maks.}	3.0	

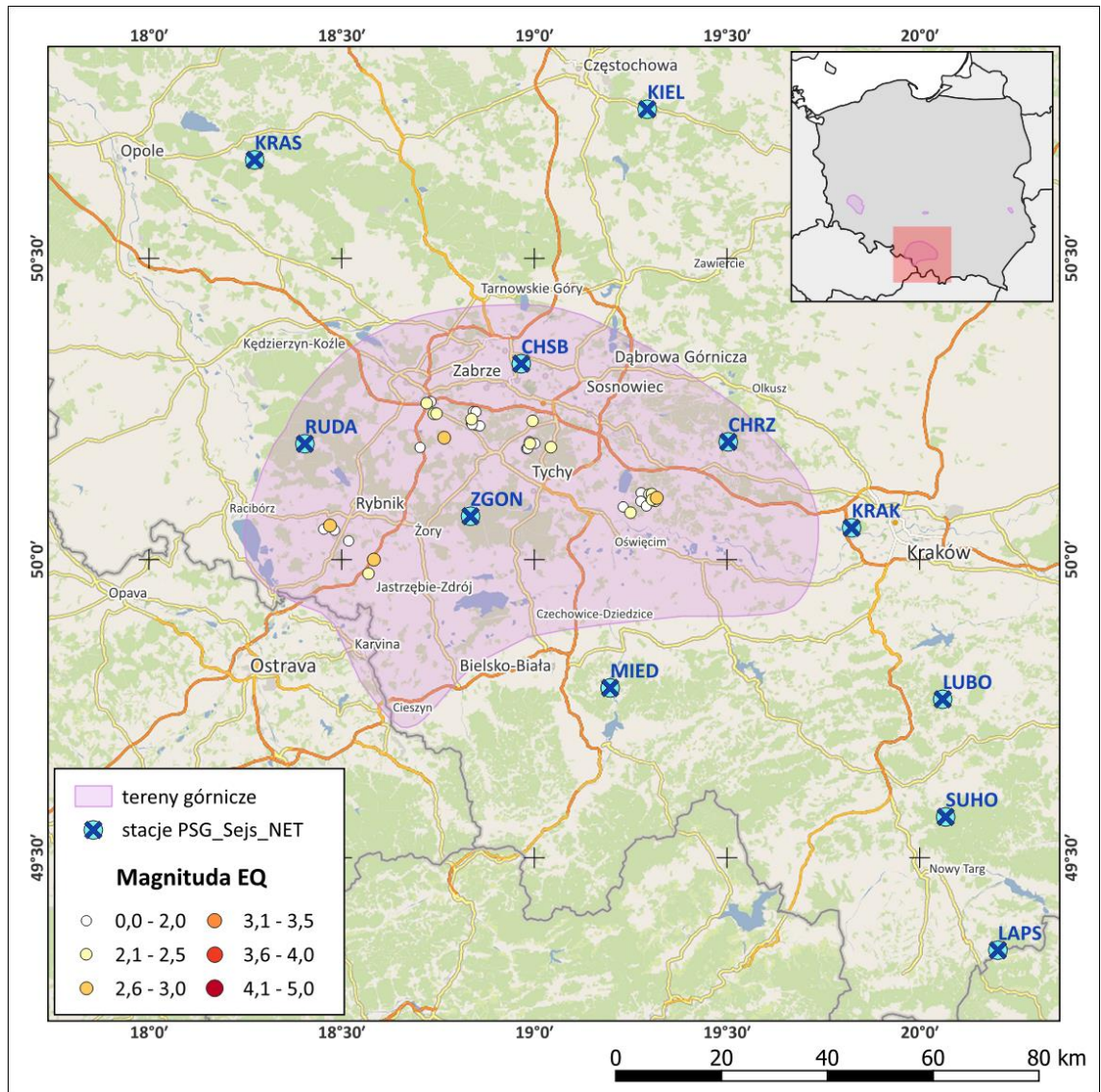
W **Tab. 3** zaprezentowano liczebność zjawisk sejsmicznych z podziałem na umowne regiony. W kwietniu 2026 r. najbardziej aktywnym sejsmicznie regionem był region **Górnośląskiego Zagłębia Węglowego**, w obrębie którego zarejestrowano **37** zjawisk. W regionie Legnicko-Głogowskiego Okręgu Miedziowego zidentyfikowano **36** zjawisk sejsmicznych.

Tab. 3. Liczebność zjawisk sejsmicznych zarejestrowanych na obszarze Polski oraz w strefie przygranicznej w kwietniu 2026 r. w sieci PSG_Sejs_NET w podziale na umowne regiony.

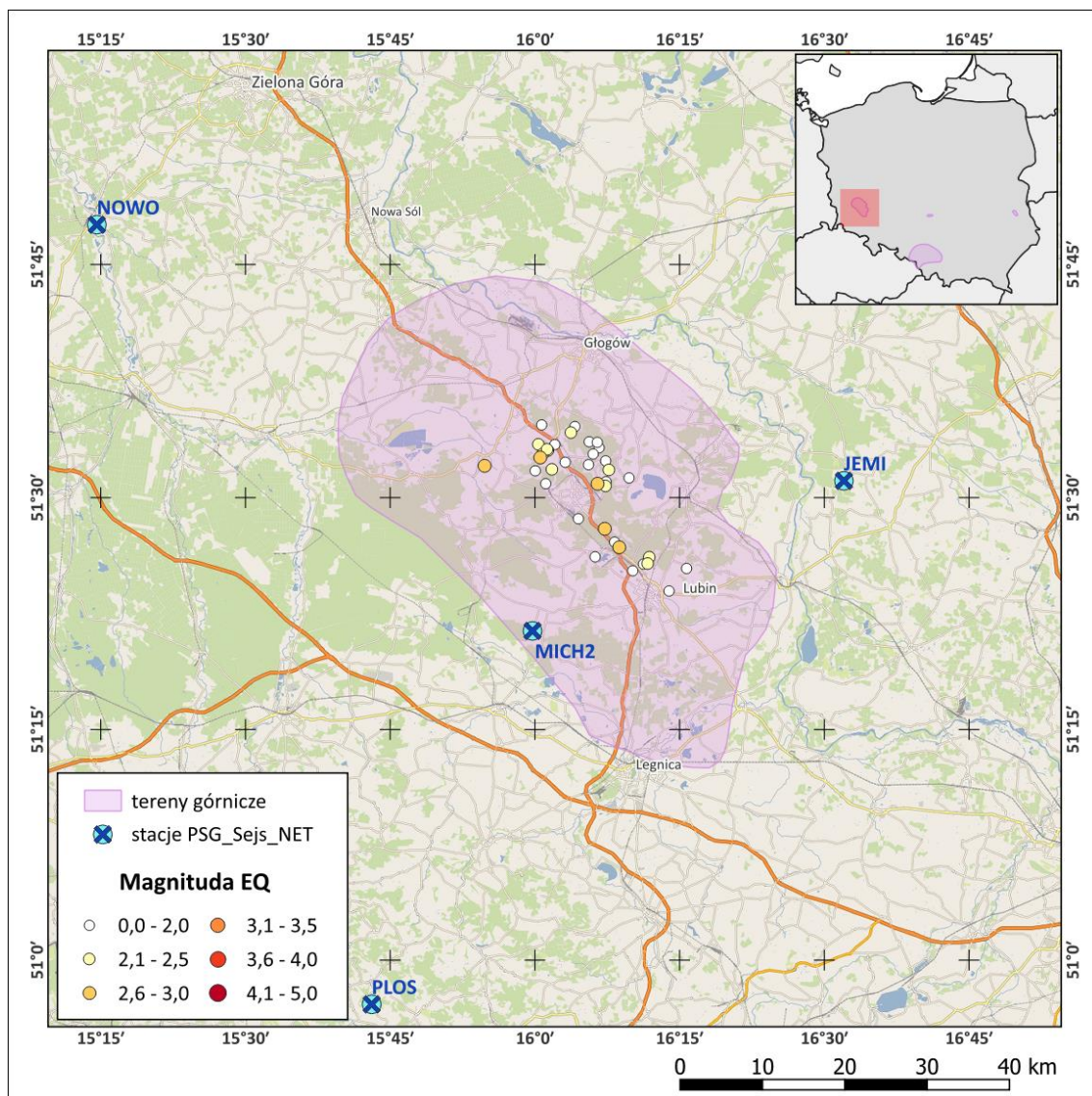
Lp.	Nazwa obszaru	Liczba zjawisk sejsmicznych	Liczba zjawisk sejsmicznych odczuwalnych
1	GZW (w tym Ostrawa-Karwina)	37	4
2	LGOM	36	5
3	LZW (KWK Bogdanka)	0	0
4	KWB Bełchatów	0	0
5	Podhale	0	0
6	Karpaty C & E i Przedgórze	0	0
7	Rejon Jarocina	0	0
8	Słowacja	0	0
9	Sudety i Przedgórze	0	0
10	KWB Turów	0	0
11	nieklasyfikowane	0	0
Razem (od 01/04/2026 do 30/04/2026 r.)		73	9



Lokalizacje epicentrow zjawisk z regionu GZW i LGOM zaprezentowano na **Rys. 3** i **Rys. 4**. Tereny górnice, w których prowadzona jest eksploatacja górnicza i występuje zagrożenie tzw. sejsmicznością indukowaną zaznaczono również na mapach **załączników 1 i 2**.



Rys. 3. Lokalizacja epicentrów zjawisk sejsmicznych zarejestrowanych w sieci PSG_Sejs_NET państwowej służby geologicznej na obszarze GZW w kwietniu 2026 r. (dane i oprac. PSG, podkład mapowy: OSM).



Rys. 4. Lokalizacja epicentrów zjawisk sejsmicznych zarejestrowanych w sieci PSG_Sejs_NET państwowej służby geologicznej na obszarze LGOM w kwietniu 2026 r. (dane i oprac. PSG, podkład mapowy: OSM).

1.3. Górnośląska Regionalna Sieć Sejsmologiczna.

Na obszarze Górnośląskiego Zagłębia Węglowego zlokalizowane są stacje sejsmiczne Górnośląskiej Regionalnej Sieci Sejsmologicznej (GRSS). Zadaniem GRSS jest prowadzenie ciągłych obserwacji aktywności sejsmicznej, będącej skutkiem naruszenia równowagi naprężeń w ośrodku geologicznym na obszarze GZW w rezultacie bieżącej i wygaszonej eksploatacji górniczej.

W **Tab. 4** zaprezentowano wykaz zjawisk sejsmicznych zarejestrowanych w kwietniu 2026 r. w sieci monitoringu sejsmicznego GRSS.

Tab. 4. Wykaz zdarzeń sejsmicznych zarejestrowanych w sieci GRSS w kwietniu 2026 r. (na podst. danych GRSS, wg stanu na dzień 01/05/2026 r. 6:00).

Lp.	Data & Czas (UTC)	Szer. geogr. [°]	Dług. geogr. [°]	Mag.
1*)	2026-04-01 09:45:24	50.09	19.36	2.3
2	2026-04-02 07:05:07	50.22	18.71	2.4
3*)	2026-04-02 14:24:16	50.09	19.36	1.9
4	2026-04-02 18:52:36	50.03	18.54	2.1
5	2026-04-02 22:52:07	50.22	18.78	2.9
6	2026-04-02 23:40:23	50.05	18.46	2.1
7	2026-04-03 11:06:17	49.99	18.60	2.9
8	2026-04-04 02:56:54	50.23	18.87	2.2
9*)	2026-04-04 08:20:59	50.27	18.82	2.2
10	2026-04-06 02:08:11	50.09	19.36	2.3
11*)	2026-04-06 09:13:16	50.21	19.03	2.4
12*)	2026-04-07 15:26:12	50.23	18.87	2.4
13	2026-04-08 00:27:19	50.21	19.03	2.4
14*)	2026-04-08 14:23:58	50.23	18.87	2.2
15	2026-04-08 19:40:45	50.09	19.36	2.7
16	2026-04-09 00:23:46	50.05	18.46	3.0
17*)	2026-04-09 00:30:58	50.05	18.46	1.8
18	2026-04-09 05:49:07	50.21	19.03	2.7
19	2026-04-09 18:06:04	50.26	18.74	2.7
20	2026-04-13 15:42:09	50.09	19.36	2.6
21	2026-04-14 15:22:32	50.23	18.87	2.6
22	2026-04-14 18:04:23	50.09	19.35	3.2
23*)	2026-04-15 05:32:41	50.21	19.03	2.1
24*)	2026-04-15 09:27:32	50.23	18.87	2.5
25	2026-04-17 00:47:15	50.26	18.74	2.7
26	2026-04-17 02:26:51	50.23	18.87	2.5
27*)	2026-04-17 07:06:42	50.21	19.03	2.2
28	2026-04-17 21:52:23	50.21	19.03	2.6
29	2026-04-19 19:48:35	50.23	18.87	2.3
30	2026-04-19 22:30:00	50.23	18.87	2.5
31*)	2026-04-20 20:45:26	50.05	18.46	2.2
32	2026-04-21 13:40:12	49.99	18.60	2.4
33*)	2026-04-22 10:19:01	50.23	18.87	2.7
34	2026-04-22 11:44:44	50.22	19.03	2.8
35*)	2026-04-22 12:28:17	50.08	19.29	2.0
36*)	2026-04-22 16:00:58	50.09	19.36	2.2
37	2026-04-22 16:19:41	50.09	19.36	2.4
38*)	2026-04-23 12:27:25	50.09	19.35	2.4
39*)	2026-04-23 12:29:00	50.09	19.36	2.1
40*)	2026-04-24 01:00:32	50.24	18.88	2.2
41*)	2026-04-24 12:02:39	50.23	18.87	2.0
42*)	2026-04-24 14:37:10	50.09	19.36	2.3
43*)	2026-04-24 21:49:03	50.08	19.29	1.8
44	2026-04-24 23:14:59	50.09	19.36	2.4
45	2026-04-25 01:26:31	50.05	18.46	2.2
46*)	2026-04-25 08:55:27	50.27	18.83	2.4
47*)	2026-04-25 18:05:10	50.21	18.75	2.2
48	2026-04-28 20:29:40	50.09	19.36	2.5
49	2026-04-28 21:01:48	50.09	19.36	2.3
50*)	2026-04-29 04:52:14	50.09	19.36	2.3
51*)	2026-04-29 15:11:33	50.23	18.87	2.3
52	2026-04-29 16:46:36	50.09	19.36	3.0
53	2026-04-29 19:00:33	50.08	19.29	2.3

*) Zdarzenia sejsmiczne niezidentyfikowane w sieci PSG_Sejs_NET

Statystykę zdarzeń sejsmicznych na obszarze objętym monitoringiem Górnośląskiej Regionalnej Sieci Sejsmologicznej (na podst. danych z bazy GRSS) podsumowano w **Tab. 5**.

Tab. 5. Statystyka zdarzeń sejsmicznych na obszarze objętym monitoringiem Górnośląskiej Regionalnej Sieci Sejsmologicznej w kwietniu 2026 roku.

Magnituda		Liczba zdarzeń	%
>	≤		
0.0	2.5	39	73.6
2.5	3.0	13	24.5
3.0	3.5	1	1.9
3.5	4.0	0	0.0
4.0	4.5	0	0.0
M>4.5		0	0.0
Razem:		53	100.0
w tym:	M≤2.5	39	73.6
	M>2.5	14	26.4
	M_{min.}	1.8	
	M_{śr.}	2.4	
	M_{maks.}	3.2	

1.4. Europejskie, Śródziemnomorskie Centrum Sejsmologiczne (European-Mediterranean Seismological Centre).

Europejskie, Śródziemnomorskie Centrum Sejsmologiczne (EMSC) rejestruje, przetwarza i analizuje dane sejsmologiczne z obszaru Europy oraz w skali globalnej z obszaru całej kuli ziemskiej. Sieć detekcji wstrząsów EMSC oparta jest o istniejące, narodowe sieci monitoringu sejsmicznego z ponad 70 krajów. W bazie danych sieci EMSC rejestrowane są zjawiska sejsmiczne, których epicentra zlokalizowane są również na terytorium Polski.

W kwietniu 2026 r. do zasobów bazy danych EMSC włączone zostały wstrząsy, których identyfikacji dokonano na podstawie danych dostarczonych przez sejsmometry sieci PLSN (Polska Sieć Sejsmologiczna - Instytut Geofizyki PAN) oraz sejsmometry sieci krajów ościennych. Źródła większości zarejestrowanych zjawisk znajdowały się w obszarze LGOM. Wszystkie te zjawiska wykryte zostały także w sieci PSG_Sejs_NET.

Listę zjawisk sejsmicznych z bazy danych EMSC, których epicentra zlokalizowane były na terytorium Polski przedstawiono w **Tab. 6**.

Tab. 6. Zjawiska sejsmiczne na obszarze Polski w kwietniu 2026 r. zarejestrowane w sieci EMSC (wyciąg z bazy danych EMSC).

Lp.	Data & Czas (UTC)	Szer. geogr. [°]	Dług. geogr. [°]	Głęb. ogniska [km]	Mag.	Region
1	2026-04-02 18:52:35	50.08	18.50	0	2.1	POLAND
2	2026-04-02 22:25:40	51.54	16.15	1	2.6	POLAND
3	2026-04-02 22:52:07	50.19	18.79	8	2.6	POLAND
4	2026-04-03 11:06:16	49.98	18.57	1	2.5	POLAND
5	2026-04-03 17:35:28	51.55	16.17	1	2.3	POLAND
6	2026-04-04 14:19:38	51.56	16.17	0	2.7	POLAND
7	2026-04-06 23:44:55	51.43	16.28	0	2.5	POLAND
8	2026-04-08 19:40:43	50.14	19.32	3	2.2	POLAND
9	2026-04-09 00:23:45	50.06	18.45	1	2.7	POLAND
10	2026-04-09 05:49:06	50.15	18.98	8	2.3	POLAND
11	2026-04-09 16:16:41	51.56	16.12	10	2.8	POLAND
12	2026-04-09 18:06:03	50.26	18.73	1	2.1	POLAND

13	2026-04-10 05:20:13	51.59	16.06	2	2.5	POLAND
14	2026-04-10 08:00:32	51.46	16.20	1	2.7	POLAND
15	2026-04-11 03:54:15	51.44	16.12	1	2.8	POLAND
16	2026-04-12 20:55:32	50.22	19.04	1	2.1	POLAND
17	2026-04-14 18:04:27	50.12	19.36	11	2.8	POLAND
18	2026-04-15 03:54:57	51.55	16.18	1	1.8	POLAND
19	2026-04-15 03:57:15	51.54	16.12	1	2.4	POLAND
20	2026-04-15 04:00:52	51.54	16.11	1	2.3	POLAND
21*)	2026-04-15 21:57:13	51.47	16.23	1	2.0	POLAND
22	2026-04-16 15:41:35	51.42	16.31	0	2.4	POLAND
23	2026-04-17 00:47:14	50.25	18.73	0	2.2	POLAND
24	2026-04-17 18:06:39	51.55	15.95	0	2.9	POLAND
25	2026-04-17 21:52:22	50.22	18.99	0	2.1	POLAND
26	2026-04-18 00:25:31	51.54	16.16	0	2.1	POLAND
27	2026-04-22 11:44:43	50.18	18.96	10	2.3	POLAND
28	2026-04-22 16:35:28	51.52	16.06	10	2.6	POLAND
29	2026-04-23 18:49:43	51.58	16.08	1	2.6	POLAND
30	2026-04-24 19:06:28	51.52	16.12	0	3.0	POLAND
31	2026-04-27 21:22:50	51.55	16.08	1	2.1	POLAND
32	2026-04-28 09:26:13	51.51	16.16	1	2.4	POLAND
33	2026-04-28 20:29:40	50.10	19.36	1	2.0	POLAND
34*)	2026-04-29 09:47:16	50.22	18.89	1	2.0	POLAND
35	2026-04-29 16:46:34	50.13	19.30	10	2.5	POLAND
36	2026-04-30 17:32:44	50.05	19.28	10	2.3	POLAND
*) Zdarzenia sejsmiczne niezidentyfikowane w sieci PSG_Sejs_NET						

Statystykę zdarzeń sejsmicznych z terytorium Polski zarejestrowanych w bazie EMSC podsumowano w **Tab. 7.**

Tab. 7. Statystyka zdarzeń sejsmicznych z terytorium Polski zarejestrowanych w bazie EMSC w kwietniu 2026 roku.

Magnituda		Liczba zdarzeń	%
>	≤		
0.0	2.5	24	66.7
2.5	3.0	12	33.3
3.0	3.5	0	0.0
3.5	4.0	0	0.0
4.0	4.5	0	0.0
M>4.5		0	0.0
Razem:		36	100.0
w tym:	M≤2.5	24	66.7
	M>2.5	12	33.3
	M_{min.}	1.8	
	M_{śr.}	2.4	
	M_{maks.}	3.0	

2. AKTYWNOŚĆ SEJSMICZNA NA KONTYNENCIE EUROPEJSKIM I W SKALI GLOBALNEJ (WG DANYCH EMSC).

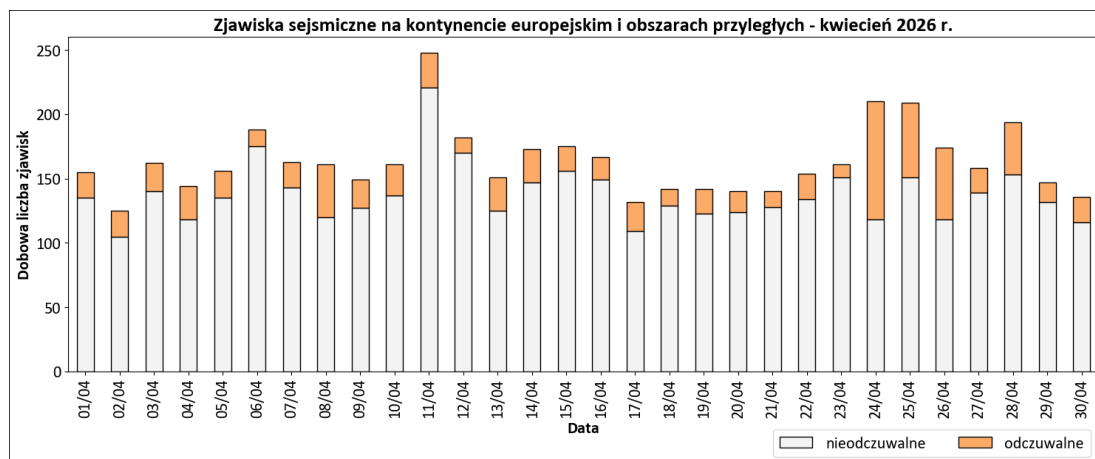
2.1. Aktywność sejsmiczna na kontynencie europejskim.

Na obszarze kontynentu europejskiego i obszarach przyległych w kwietniu 2026 roku w bazie danych EMSC zarejestrowano **4899** zdarzeń sejsmicznych o magnitudzie od **M0.0** do **M5.8**.

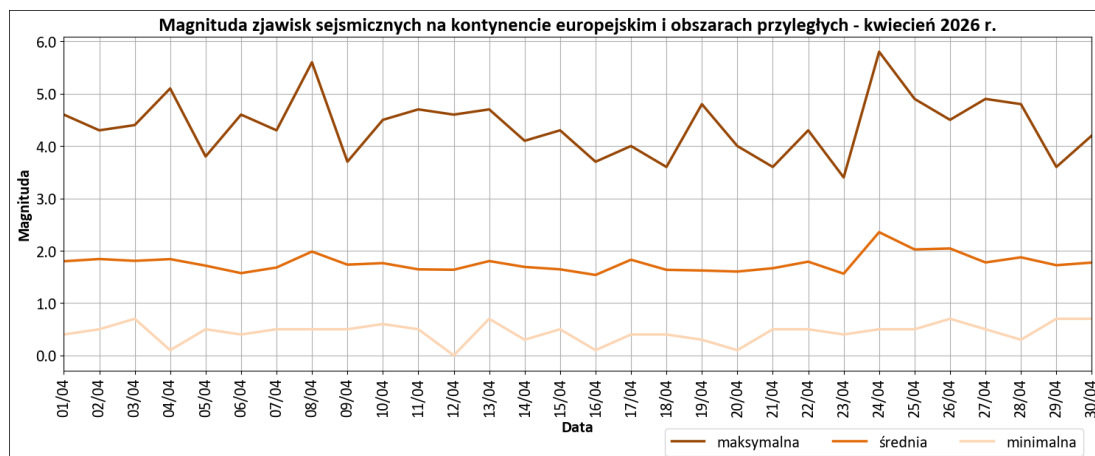
Lokalizacje epicentrów trzęsień ziemi obejmujących obszar Europy i tereny przyległe zaprezentowano na **zał. 3**. Charakterystykę europejskiej aktywności sejsmicznej w kwietniu 2026 r., dla zjawisk z obszaru w granicach mapy podst. (**zał. 3**), przedstawiono w **Tab. 8** (statystyka wstrząsów) i na **Rys. 5** i **Rys. 6** (sekwencja zjawisk – dobowa liczebność i magnituda).

Tab. 8. Statystyka zjawisk sejsmicznych zarejestrowanych w bazie EMSC na obszarze Europy i obszarach przyległych (w granicach obszaru mapy podstawowej z **zał. 3**) w kwietniu 2026 r. – oprac. PSG.

Magnituda		Liczba zdarzeń	%
>	≤		
0.0	2.5	4127	84.2
2.5	3.5	648	13.2
3.5	4.5	106	2.2
4.5	5.5	15	0.3
5.5	6.5	2	0.0
6.5	8.0	0	0.0
Razem:		4899	100.0
w tym:	M≤2.5	4128	84.3
	M>2.5	771	15.7
	M_{min.}	0.0	
	M_{śr.}	1.8	
	M_{maks.}	5.8	



Rys. 5. Sekwencja zjawisk sejsmicznych na kontynencie europejskim w kwietniu 2026 r. – dobowa liczebność zjawisk (odczuwalnych i nieodczuwalnych) – oprac. PSG, dane EMSC.



Rys. 6. Sekwencja zjawisk sejsmicznych na kontynencie europejskim w kwietniu 2026 r. – dobowa magnituda: minimalna, średnia i maksymalna – oprac. PSG, dane EMSC.

Regionalna charakterystyka aktywności sejsmicznej w kwietniu 2026 r., mierzona liczbą zarejestrowanych zjawisk o magnitudach przekraczających próg odczuwalności ($M > 2.5$), zaprezentowana została w **Tab. 9**. Z analizy zjawisk zarejestrowanych wynika, że w kwietniu w obszarze europejskim największą aktywnością sejsmiczną wyróżnił się region **Krety, Grecja**.

Tab. 9. Najbardziej aktywne regiony sejsmologiczne na kontynencie europejskim i obszarach przyległych w kwietniu 2026 r. pod względem liczby zarejestrowanych, odczuwalnych zjawisk sejsmicznych (oprac. PSG na podstawie danych EMSC).

Lp.	Region	Liczba odczuwalnych zjawisk zarejestrowanych w EMSC - kwiecień 2026 r.	Procentowy udział w miesięcznej liczbie zjawisk odczuwalnych - kwiecień 2026 r.
1	CRETE, GREECE	225	29.18
2	GREECE	92	11.93
3	WESTERN TURKEY	56	7.26
4	EASTERN TURKEY	41	5.32
5	AEGEAN SEA	30	3.89
6	CENTRAL TURKEY	29	3.76
7	SOUTHERN GREECE	25	3.24

W kwietniu 2026 r. na kontynencie europejskim oraz obszarach przyległych zanotowano 4 zjawiska o magnitudzie $M \geq 5$. Podstawowe parametry najsilniejszych europejskich zjawisk przedstawiono w **Tab. 10**.

Tab. 10. Wykaz zjawisk sejsmicznych o magnitudzie $M \geq 5.0$, zarejestrowanych na obszarze Europy i obszarach przyległych (w granicach obszaru mapy podstawowej – zał. 3) w kwietniu 2026 r. (na podst. danych z bazy EMSC).

Lp.	Data & Czas (UTC)	Szer. geogr. [°]	Dług. geogr. [°]	Głęb. ogniska [km]	Mag.	Region
1	2026-04-04 05:52:42	38.83	43.54	7	5.1	EASTERN TURKEY
2	2026-04-08 09:05:37	38.86	49.56	14	5.6	CASPIAN SEA, OFFSHORE AZERBAIJAN
3	2026-04-24 03:18:52	34.97	25.90	5	5.8	CRETE, GREECE
4	2026-04-24 08:58:16	34.94	26.14	2	5.0	CRETE, GREECE

Lokalizacje epicentrow zjawisk sejsmicznych o magnitudzie $M > 2.5$ z obszaru Europy i obszarów przyległych zaprezentowano na **zał. 3**.

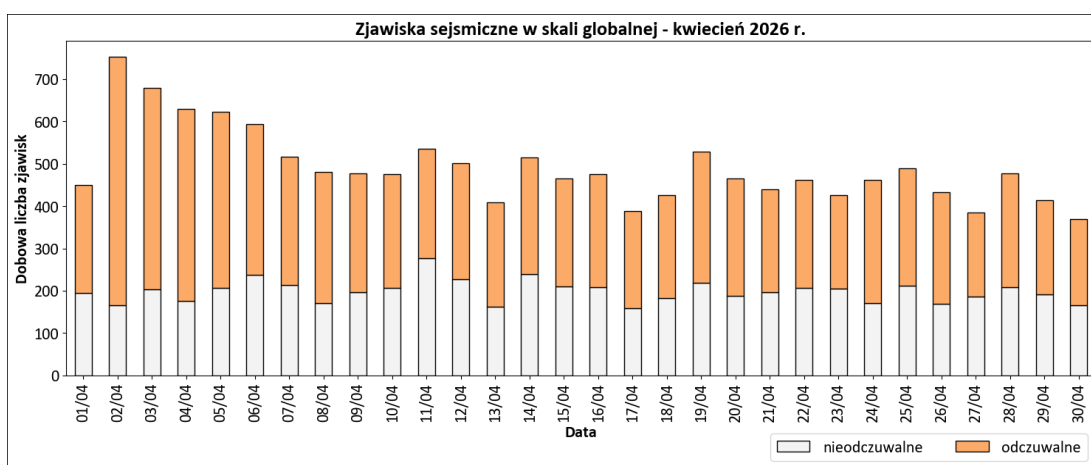
2.2. Globalna aktywność sejsmiczna.

W kwietniu 2026 roku w skali globalnej w bazie danych EMSC zarejestrowano **14741** zjawisk sejsmicznych o magnitudzie od **M0.0** do **M7.4**.

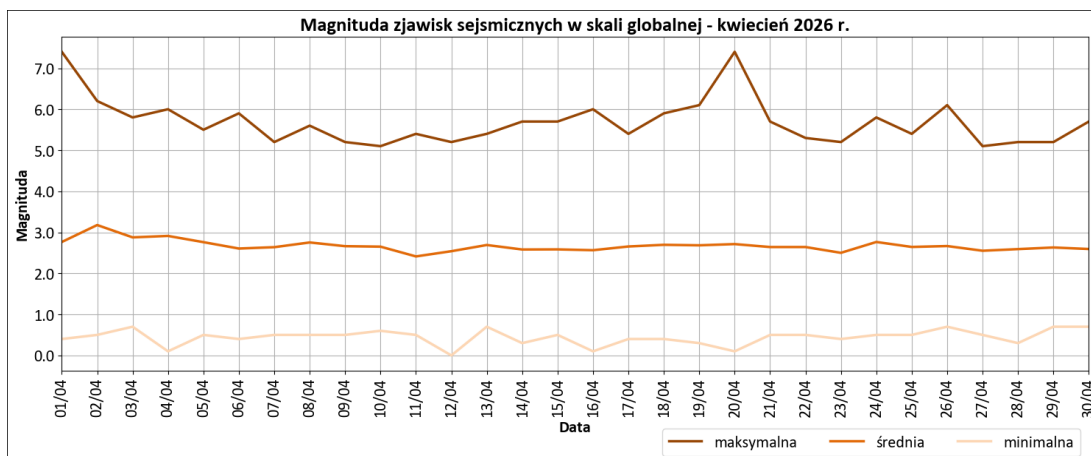
Lokalizacje epicentrow trzęsień ziemi zarejestrowanych na obszarze całej kuli ziemskiej zaprezentowano na **zał. 4**. Charakterystykę globalnej aktywności sejsmicznej w kwietniu 2026 r., przedstawiono w **Tab. 11** (statystyka wstrząsów) i na **Rys. 7** i **Rys. 8** (sekwencja zjawisk – dobową liczebność i magnituda).

Tab. 11. Statystyka zjawisk sejsmicznych zarejestrowanych w bazie EMSC na obszarze kuli ziemskiej w kwietniu 2026 r. – oprac. PSG.

Magnituda		Liczba zdarzeń	%
>	≤		
0.0	2.5	5957	40.4
2.5	3.5	6335	43.0
3.5	4.5	1979	13.4
4.5	5.5	441	3.0
5.5	6.0	23	0.2
6.0	7.0	3	0.0
>7.0		2	0.0
Razem:		14741	100.0
w tym:	M≤2.5	5958	40.4
	M>2.5	8783	59.6
	M_{min.}	0.0	
	M_{śr.}	2.7	
	M_{maks.}	7.4	



Rys. 7. Sekwencja zjawisk sejsmicznych w skali globalnej w kwietniu 2026 r. – dobową liczebność zjawisk (odczuwalnych i nieodczuwalnych) – oprac. PSG, dane EMSC.



Rys. 8. Sekwencja zjawisk sejsmicznych w skali globalnej w kwietniu 2026 r. – dobowa magnituda: minimalna, średnia i maksymalna – oprac. PSG, dane EMSC.

Regionalna charakterystyka aktywności sejsmicznej w kwietniu 2026 r., mierzona liczbą zarejestrowanych zjawisk o **magnitudach przekraczających próg odczuwalności ($M > 2.5$)**, zaprezentowana została w **Tab. 12**. Z analizy zjawisk zarejestrowanych wynika, że w kwietniu w skali globalnej największą aktywnością sejsmiczną wyróżniał się region **Morza Moluckiego**.

Tab. 12. Najbardziej aktywne regiony sejsmologiczne na świecie w kwietniu 2026 r. pod względem liczebności zarejestrowanych, odczuwalnych zdarzeń sejsmicznych (oprac. PSG na podstawie danych EMSC).

Lp.	Region	Liczba odczuwalnych zjawisk zarejestrowanych w EMSC - kwiecień 2026 r.	Procentowy udział w miesięcznej liczbie zjawisk odczuwalnych - kwiecień 2026 r.
1	MOLUCCA SEA	1786	20.33
2	ANTOFAGASTA, CHILE	274	3.12
3	CRETE, GREECE	225	2.56
4	TARAPACA, CHILE	181	2.06
5	OAXACA, MEXICO	158	1.80
6	SAN JUAN, ARGENTINA	156	1.78
7	JAVA, INDONESIA	152	1.73
8	PAPUA, INDONESIA	114	1.30
9	SOUTH OF JAVA, INDONESIA	110	1.25
10	SULAWESI, INDONESIA	109	1.24
11	NEAR N COAST OF PAPUA, INDONESIA	108	1.23
12	GUERRERO, MEXICO	106	1.21
13	VIRGIN ISLANDS REGION	102	1.16

Wykaz najsilniejszych zjawisk sejsmicznych, które zostały zarejestrowane w kwietniu br. na obszarze kuli ziemskiej, których magnituda osiągnęła lub przekroczyła wartość **M6.0** przedstawiono w **tabeli 13**.

Tab. 13. Wykaz zjawisk sejsmicznych o magnitudzie $M \geq 6.0$, zarejestrowanych na obszarze kuli ziemskiej w kwietniu 2026 r. (oprac. PSG na podst. danych z bazy EMSC).

Lp.	Data & Czas (UTC)	Szer. geogr. [°]	Dług. geogr. [°]	Głęb. ogniska [km]	Mag.	Region
1	2026-04-01 11:20:26	-7.04	-76.14	119	6.0	NORTHERN PERU
2	2026-04-01 22:48:13	1.20	126.23	26	7.4	MOLUCCA SEA
3	2026-04-02 03:23:54	1.18	126.50	35	6.2	MOLUCCA SEA
4	2026-04-04 10:34:31	4.97	126.16	90	6.0	KEPULAUAN TALAUD, INDONESIA
5	2026-04-16 13:30:02	-32.19	-177.95	15	6.0	SOUTH OF KERMADEC ISLANDS

6	2026-04-19 17:34:49	-15.18	-173.50	50	6.1	TONGA
7	2026-04-20 07:52:58	40.03	142.97	11	7.4	NEAR EAST COAST OF HONSHU, JAPAN
8	2026-04-26 20:23:55	42.72	142.93	81	6.1	HOKKAIDO, JAPAN REGION

3. MONITORING ZMIAN PIONOWEJ SKŁADOWEJ PRZYSPIESZENIA SIŁY CIĘŻKOŚCI.

Przedmiotem monitoringu grawimetrycznego są okresowe (m. in. pływy grawitacyjne spowodowane oddziaływaniem grawitacyjnym Słońca i Księżycy) i nieokresowe zmiany przyspieszenia składowej pionowej pola grawitacyjnego (m. in. wstrząsy i zjawiska sejsmiczne) na stałym stanowisku obserwacyjnym w laboratorium geodynamicznym PSG w Hołowni (HOLO) w gm. Podedwórze w pow. parczewskim.

Do monitoringu grawimetrycznego wykorzystywany jest sprężynowy, względny grawimetr pływowy gPhoneX nr 165 prod. Micro-g LaCoste (USA) o rozdzielczości 0.1 μGal i precyzji $\pm 1.0 \mu\text{Gal}$. Pomiary siły ciężkości wykonywane są z 1 Hz oraz 5 Hz częstotliwością odczytów.

Na **Rys. 9** zaprezentowane zostały wykresy wyników obserwacji grawimetrycznych zarejestrowane w kwietniu 2026 r. przedstawiające:

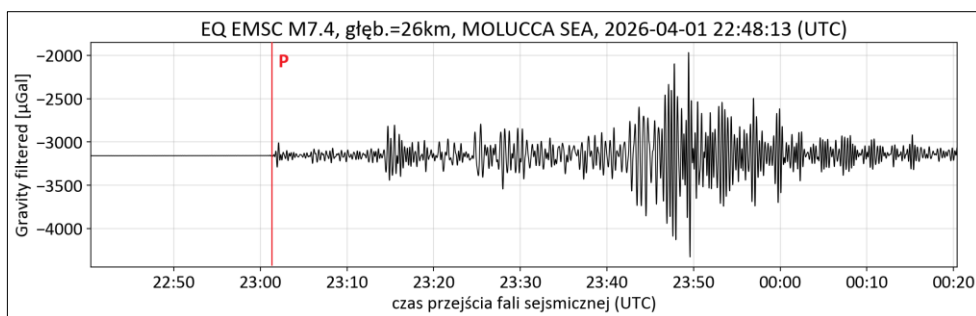
- zarejestrowane oscylacje składowej pionowej przyspieszenia siły ciężkości wywołane głównie działaniem sił pływowych (przyciąganie grawitacyjne Słońca i Księżycy) w skorupie ziemskiej, czyli dane surowe – komponent ***Gravity* [μGal]**,
- dane po filtracji dolnoprzepustowej ($f_c = 0.07 \text{ Hz}$) – komponent ***Gravity filtered* [μGal]**,
- wielkości przemieszczenia pionowego (odpowiadające zmianom przyspieszenia) w trakcie przejścia fal sejsmicznych przez stanowisko obserwacji wyznaczone na podstawie podwójnego całkowania zredukowanych zmian przyspieszenia siły ciężkości, również po filtracji dolnoprzepustowej ($f_c = 0.07 \text{ Hz}$) – komponent ***Position filtered* [μ]**.

Występujące nieregularne zjawiska o wysokich amplitudach, których obraz falowy wyraźnie zaznaczył się na zapisach, są wywołane falami sejsmicznymi wygenerowanymi w źródłach najsilniejszych trzęsień ziemi występujących na świecie.

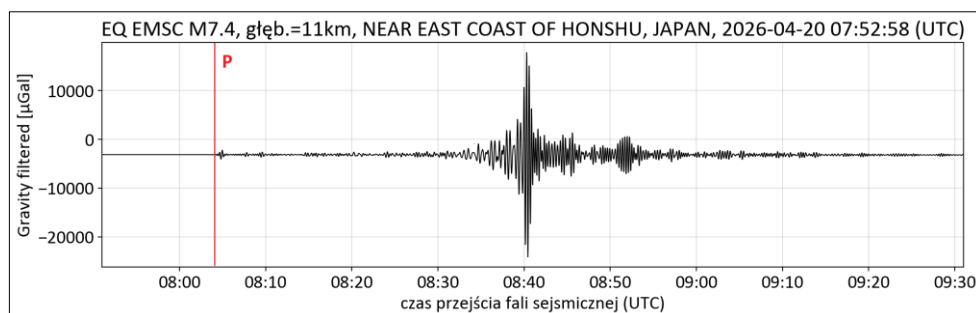


Rys. 9. Zmiany pionowej składowej siły ciężkości g zarejestrowane w okresie od 01/04/2026 do 30/04/2026 r. w laboratorium geodynamicznym PSG w Hołownie; zmiany składowej pionowej przyspieszenia siły ciężkości (górny wykres), zmiany składowej pionowej przyspieszenia siły ciężkości po filtracji dolnoprzepustowej (środkowy wykres), podwójnie przecałkowane, zredukowane zmiany składowej pionowej przyspieszenia siły ciężkości po filtracji dolnoprzepustowej (dolny wykres).

Na **Rys. 10** i **Rys.11** przedstawiono efekty dwóch najmocniejszych trzęsień ziemi (obrazy falowe zarejestrowane gravimetrem gPhoneX nr 165) widocznych w zapisie monitoringu składowej pionowej siły ciężkości w laboratorium geodynamicznych w Hołownie (stacja HOLO) odpowiednio z dnia 01/04/2026 r. w regionie *MOLUCCA SEA* o magnitudzie M7.4 oraz z dnia 20/04/2026 r. w regionie *NEAR EAST COAST OF HONSHU, JAPAN* o magnitudzie M7.4. Parametry wymienionych zjawisk, na podstawie danych EMSC, zostały przedstawione w **Tab. 13**. Na wykresach przedstawiono zmiany składowej pionowej przyspieszenia siły ciężkości po filtracji dolnoprzepustowej oraz zaznaczono pierwsze wejście fali (P).

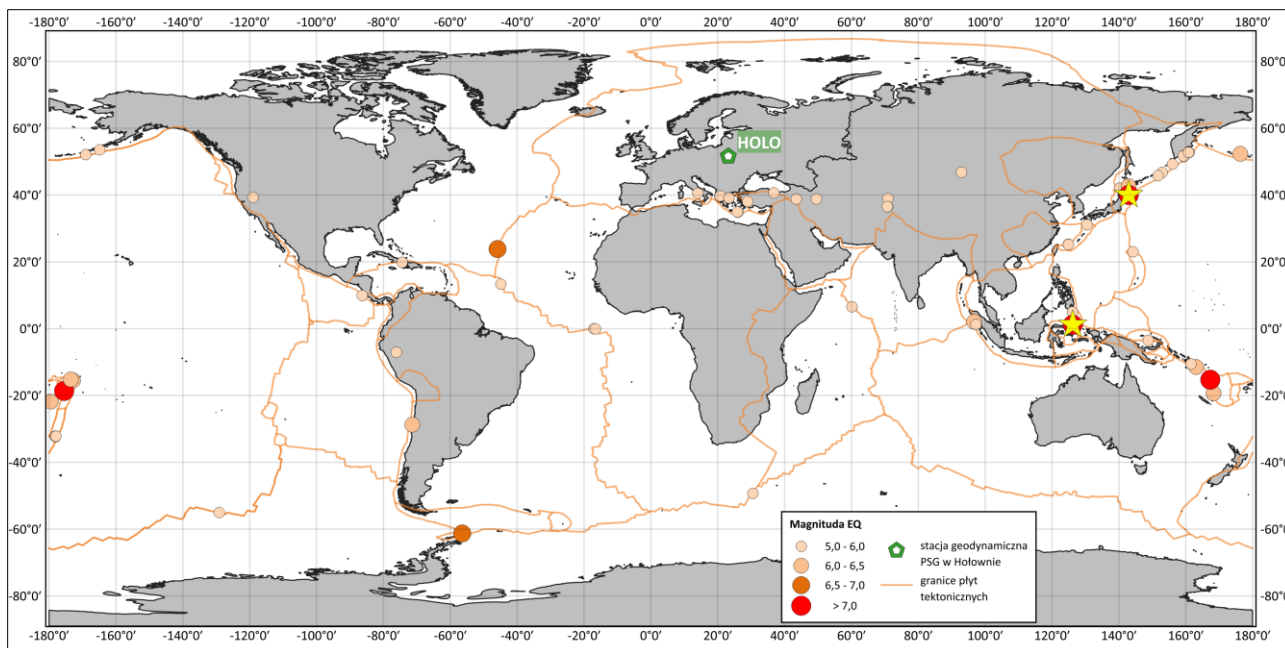


Rys. 10. Fragment zapisu (przyspieszenia) z monitoringu grawimetrycznego pola siły ciężkości na stacji HOLO zarejestrowany w trakcie przejścia przez punkt obserwacji grawimetrycznych fal sejsmicznych wywołanych w ognisku trzęsienia ziemi o magnitudzie M7.4 z dnia 01/04/2026 r. w regionie MOLUCCA SEA.



Rys. 11. Fragment zapisu (przyspieszenia) z monitoringu grawimetrycznego pola siły ciężkości na stacji HOLO zarejestrowany w trakcie przejścia przez punkt obserwacji grawimetrycznych fal sejsmicznych wywołanych w ognisku trzęsienia ziemi o magnitudzie M7.4 z dnia 20/04/2026 r. w regionie NEAR EAST COAST OF HONSHU, JAPAN.

Lokalizacja epicentrów zjawisk sejsmicznych widocznych w zapisie parametrów monitoringu grawimetrycznego w kwietniu 2026 r., których obraz falowy wyraźnie zaznaczył się na dolnym wykresie (**Rys. 9**, komponent *Position filtered*) przedstawiono na **Rys. 12**. Dodatkowo gwiazdką oznaczono najsilniejsze trzęsienia ziemi, których fragment zapisu przedstawiono powyżej (**Rys. 10** i **Rys. 11**). W **Tab. 14** przedstawiono wykaz podstawowych danych odnoszących się do tych zjawisk sejsmicznych na podstawie bazy EMSC.



Rys. 12. Lokalizacja epicentrów wybranych zjawisk sejsmicznych widocznych w zapisie parametrów monitoringu grawimetrycznego w kwietniu 2026 r. na stacji geodynamicznej PSG w Hołownie (HOLO).

Tab. 14. Wykaz wybranych zjawisk sejsmicznych zarejestrowanych w kwietniu 2026 r. w zapisach parametrów monitoringu grawimetrycznego na stacji PSG w Hołownie (dane w tabeli wg danych EMSC).

Lp.	Data	Godz. (UTC)	Szer. geogr. [°]	Dług. geogr. [°]	Głęb. ogniska [km]	Mag.	Nazwa regionu sejsmologicznego
1	2026-04-01	11:20:26	-7.04	-76.14	119	6	NORTHERN PERU
2	2026-04-01	22:48:13	1.2	126.23	26	7.4	MOLUCCA SEA
3	2026-04-02	03:23:54	1.18	126.5	35	6.2	MOLUCCA SEA
4	2026-04-02	14:13:51	1.32	126.53	37	5.9	MOLUCCA SEA
5	2026-04-02	14:34:59	1.22	126.5	10	5.8	MOLUCCA SEA
6	2026-04-03	02:10:53	46.78	153	35	5.1	KURIL ISLANDS
7	2026-04-03	10:26:43	39	70.91	12	5.2	TAJIKISTAN
8	2026-04-03	16:12:56	36.55	70.78	177	5.8	HINDU KUSH REGION, AFGHANISTAN
9	2026-04-04	05:52:42	38.83	43.54	7	5.1	EASTERN TURKEY
10	2026-04-04	10:34:31	4.97	126.16	90	6	KEPULAUAN TALAUD, INDONESIA
11	2026-04-06	04:20:51	39.74	20.73	5	4.6	GREECE
12	2026-04-06	11:18:37	-55.04	-129.09	10	5.9	PACIFIC-ANTARCTIC RIDGE
13	2026-04-08	09:05:37	38.86	49.56	14	5.6	CASPIAN SEA, OFFSHORE AZERBAIJAN
14	2026-04-14	01:29:15	39.33	-119.01	5	5.7	NEVADA
15	2026-04-14	10:13:17	-49.32	30.54	10	5.7	SOUTH OF AFRICA
16	2026-04-15	06:56:03	9.92	-86.33	23	5.7	OFF COAST OF COSTA RICA
17	2026-04-16	13:30:02	-32.19	-177.95	15	6	SOUTH OF KERMADEC ISLANDS
18	2026-04-16	20:36:42	-0.06	-16.55	6	5.2	NORTH OF ASCENSION ISLAND
19	2026-04-17	12:39:27	13.32	-44.85	10	5.4	NORTHERN MID-ATLANTIC RIDGE
20	2026-04-18	02:54:18	36.54	70.86	181	5.3	HINDU KUSH REGION, AFGHANISTAN
21	2026-04-18	04:40:07	45.84	151.75	1	5.2	KURIL ISLANDS
22	2026-04-18	06:00:02	6.57	60.19	6	5.5	CARLSBERG RIDGE
23	2026-04-18	10:47:54	-32.14	-178.1	10	5.9	SOUTH OF KERMADEC ISLANDS
24	2026-04-18	15:02:58	-10.57	161.6	30	5.8	SOLOMON ISLANDS
25	2026-04-18	18:29:59	-32.37	-178.06	10	5.4	SOUTH OF KERMADEC ISLANDS
26	2026-04-18	20:06:51	1.27	97.26	20	5.6	NIAS REGION, INDONESIA
27	2026-04-19	17:34:49	-15.18	-173.5	50	6.1	TONGA
28	2026-04-20	07:52:58	40.03	142.97	11	7.4	NEAR EAST COAST OF HONSHU, JAPAN

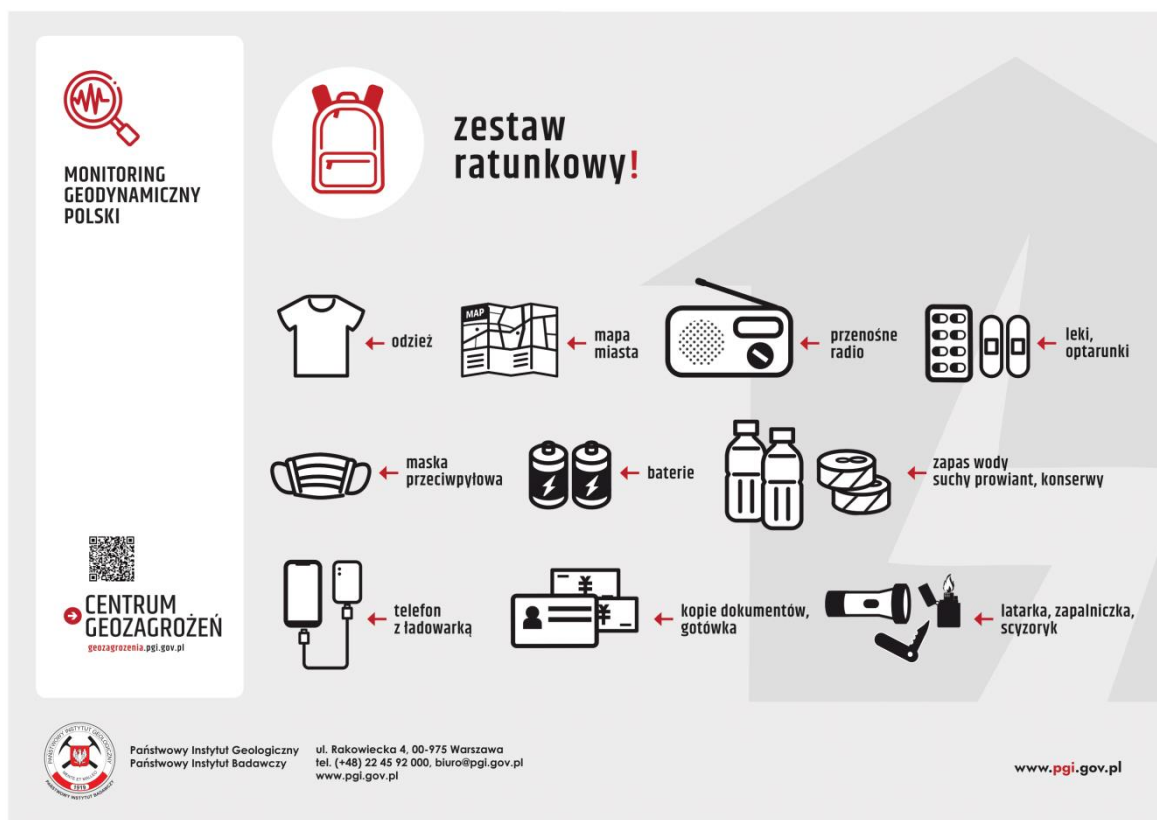
29	2026-04-21	05:29:10	39.92	143.44	10	5.4	OFF EAST COAST OF HONSHU, JAPAN
30	2026-04-21	18:44:11	40.21	143.15	24	5.6	OFF EAST COAST OF HONSHU, JAPAN
31	2026-04-24	03:18:52	34.97	25.9	5	5.8	CRETE, GREECE
32	2026-04-24	08:58:16	34.94	26.14	2	5	CRETE, GREECE
33	2026-04-24	08:59:27	52.78	161.01	6	5.3	OFF EAST COAST OF KAMCHATKA
34	2026-04-24	10:04:32	52.79	160.88	3	5.4	OFF EAST COAST OF KAMCHATKA
35	2026-04-24	12:49:35	52.76	160.96	6	5.1	OFF EAST COAST OF KAMCHATKA
36	2026-04-25	08:05:55	53.57	-164.85	30	5.4	UNIMAK ISLAND REGION, ALASKA
37	2026-04-25	19:49:56	34.89	25.99	7	4.9	CRETE, GREECE
38	2026-04-26	04:23:23	46.84	92.96	4	5.5	WESTERN MONGOLIA
39	2026-04-26	20:23:55	42.72	142.93	81	6.1	HOKKAIDO, JAPAN REGION
40	2026-04-28	11:12:23	39.16	23.4	6	4.7	AEGEAN SEA
41	2026-04-28	13:07:45	39.16	23.39	8	4.8	AEGEAN SEA
42	2026-04-30	13:27:01	-3.47	148.81	10	5.7	BISMARCK SEA

4. DODATEK – PAŃSTWOWA SŁUŻBA GEOLOGICZNA RADZI, JAK ZACHOWAĆ SIĘ W CZASIE ZJAWISK SEJSMICZNYCH.

Uwaga: Poradnik znajdujący się poniżej został opracowany na podstawie zaleceń Ministerstwa Spraw Zagranicznych (<https://www.gov.pl/web/dyplomacja/trzesienia-ziemi>).

Według zaleceń Ministerstwa Spraw Zagranicznych (MSZ), gdy **podróżujesz do obszaru zagrożonego trzęsieniami ziemi**, zalecane są następujące kroki:

- Zarejestruj się w serwisie MSZ Odyseusz (<https://odyseusz.msz.gov.pl/>). Umożliwi to w przypadku wystąpienia nadzwyczajnych sytuacji udzielenie pomocy poprzez właściwą placówkę dyplomatyczno-konsularną, a także otrzymywanie powiadomień o zagrożeniach w kraju podróży.
- Sprawdź, czy Twoje ubezpieczenie podróżne obejmuje również skutki katastrof naturalnych.
- Pamiętaj o zapisaniu numerów do lokalnych służb ratunkowych, ubezpieczyciela i ambasady.
- Na miejscu (np. w hotelu) sprawdź, gdzie znajdują się wyjścia ewakuacyjne oraz gdzie jest najbliższa otwarta przestrzeń.
- Jeśli podróżujesz z rodziną/przyjaciółmi ustalcie gdzie się spotkacie w przypadku wstrząsów podczas, których możecie zostać rozdzieleni.
- Wieczorem zostawiaj buty przy łóżku.
- Przygotuj plecak/torbę podręczną z zestawem ratunkowym (zobacz, co warto do niego włożyć na grafice poniżej).



Jadąc do obszaru zagrożonego trzęsieniami ziemi dobrze być przygotowanym na ewentualne wstrząsy. Poniższa grafika pokazuje, jak zachować się podczas ich wystąpienia. Ważne jest, aby wiedzieć, jak postępować w różnych przypadkach. Na grafice zostały pokazane sposoby zachowania w sytuacji, kiedy znajdujemy się w środku budynku oraz gdy przebywamy na zewnątrz.



**MONITORING
GEODYNAMICZNY
POLSKI**



**CENTRUM
GEOZAGROZEŃ**
geozagrozenia.pgi.gov.pl

JAK ZACHOWAĆ SIĘ PODCZAS TRZĘSIENIA ZIEMI?!



**znajdujesz się
na zewnątrz?!**



**znajdujesz się
w budynku, w pomieszczeniu?!**



Połóż się na podłodze i **chron głowę**, a jeśli możesz schowaj się pod stołem i **zabezpiecz się przed spadającymi przedmiotami**



Jeśli jesteś w łóżku, nie wstawaj i **ochron głowę i szyję poduszką**



Idziesz pieszo? Odejdź od budynków, drzew, latarni ulicznych i innych przewodów



Jesteś w Pojeździe? Zatrzymaj się z dala od budynków, drzew, wiaduktów, mostów, linii energetycznych itp.



Zostań w budynku aż do ustania wstrząsów



Znajdujesz się blisko zboczy? Uważaj na spadające skały i możliwe osunięcia ziemi



Państwowy Instytut Geologiczny
Państwowy Instytut Badawczy

ul. Rakowiecka 4, 00-975 Warszawa
tel. (+48) 22 45 92 000, biuro@pgi.gov.pl
www.pgi.gov.pl

www.pgi.gov.pl

Wstrząsy ustały, co robić dalej? Przede wszystkim postaraj się zachować spokój i sprawdź, czy nie masz żadnych obrażeń. Po drugie **śłuchaj komunikatów** lokalnych władz oraz służb ratunkowych i **postępuj zgodnie z ich instrukcjami**.

Zadbaj o swoje **bezpieczeństwo**:

- odetnij wodę, elektryczność i gaz,
- opuść jak najszybciej uszkodzony budynek, jeśli się w takim znajdujesz,
- nie wchodź do zniszczonych budynków,
- skorzystaj ze schodów zamiast windy,
- nie dotykaj przewodów elektrycznych,
- zachowaj bezpieczną odległość od wszystkiego, co może się zawalić,
- załóż obuwie, aby ochronić się przed potłuczonymi przedmiotami.

W przypadku uwięzienia (np. w budynku) wyślij wiadomość, uderzaj w rurę lub ścianę, a jeśli możesz użyj gwizdka zamiast krzycheć. Takie postępowanie pomoże Cię zlokalizować i jak najszybciej udzielić potrzebnej pomocy.

Zapamiętaj! Jeśli znajdujesz się na wybrzeżu i jest to region, gdzie występują fale tsunami, po ustaniu wstrząsów udaj się w głąb lądu lub na wyższy teren. Nie podchodź do linii brzegowej! Warto być również świadomym, że mogą nastąpić kolejne wstrząsy.

LISTA ZAŁĄCZNIKÓW

Załącznik 1 – Lokalizacja wstrząsów sejsmicznych zarejestrowanych w sieci PSG_Sejs_NET na obszarze Polski w okresie od 01/04/2026 r. do 30/04/2026 r. – na mapie prezentowane są wstrząsy z bieżącego miesiąca.

Załącznik 2 – Lokalizacja wstrząsów sejsmicznych zarejestrowanych w sieci PSG_Sejs_NET na obszarze Polski w okresie od 01/01/2025 r. do 30/04/2026 r. – na mapie prezentowane są wstrząsy od początku trwania V etapu projektu Monitoring Geodynamiczny Polski (MGP-V) tj. od dnia 01/01/2025 r.

Załącznik 3 – Lokalizacja wstrząsów sejsmicznych zarejestrowanych w bazie EMSC na obszarze Europy i obszarach przyległych (w granicach mapy podstawowej) w okresie od 01/04/2026 r. do 30/04/2026 r.

Załącznik 4 – Lokalizacja wstrząsów sejsmicznych zarejestrowanych w bazie EMSC na obszarze świata w okresie od 01/04/2026 r. do 30/04/2026 r.